

## Optimization and Prediction of Photocatalytic Process of Nano Titania Immobilized on Concrete Surface for Treating Phenolic Water

M. Delnavaz<sup>1</sup>, B. Ayati<sup>2\*</sup>, H. Ganjidoust<sup>3</sup>  
and S. Sanjabi<sup>4</sup>

### Abstract

The optimization of photocatalytic process by Taguchi method and the prediction of removal efficiency by artificial neural network were investigated in this research. Immobilized photocatalytic reactor was irradiated with TiO<sub>2</sub> by UV-A lamps to produce hydroxyl radicals for degradation of phenolic synthetic wastewater. Taguchi method and L<sub>16</sub> orthogonal array for experimental planning was used for determination of optimum conditions including initial phenol concentration (50-500 mg/L), UV lamps power (8-60 W), pH (4-12), TiO<sub>2</sub> concentration (20-80 g/m<sup>2</sup>), and UV lamp distance from concrete surface (5-20 cm). The results showed that influent phenol concentration and solution pH had the highest effect on the removal efficiency. The optimum conditions were obtained for influent phenol concentration of 50 mg/L, pH of 12, UV lamp of 60 W, titania amount of 80 g/m<sup>2</sup>, and UV lamp distance to concrete surface of 10 cm. Prediction of photocatalytic process performance by artificial neural network showed that the best result was obtained at the structure of (5-6-4-1). Transfer functions for this model were Gaussian, Hyperbolic Tangent, and Sigmoid for hidden layer 1 and 2 and output layer, respectively. The difference between measured and predicted values of output nodes was less than 5%.

## بهینه‌سازی و پیش‌بینی فرایند فتوکاتالیستی با پوشش نانوذرات تیتانیا بر سطح بتن برای تصفیه آب حاوی فنل

محمد دلناواز<sup>۱</sup>, بیتا آیتی<sup>۲\*</sup>, حسین گنجی دوست<sup>۳</sup>  
و سهراب سنجابی<sup>۴</sup>

### چکیده

در این تحقیق، بهینه‌سازی فرایند فتوکاتالیستی توسط روش تاگوچی و پیش‌بینی راندمان حذف سیستم توسط شبکه عصبی مصنوعی انجام شد. راکتور فتوکاتالیستی از نوع پوشش یافته بود که انرژی مورد نیاز برای تحریک نانوذرات تیتانیا و تولید رادیکال‌های هیدروکسیل جهت تجزیه فنل موجود در آب با استفاده از لامپ‌های UV-A تأمین می‌شد. جهت بهینه‌سازی فرایند با استفاده از روش تاگوچی و آرایه استاندارد L<sub>16</sub>، تأثیر پارامترهای موثر شامل غلظت آلاینده ورودی (۵۰-۵۰۰ mg/L)، شدت تابش لامپ (۸-۶۰ وات)، pH محلول (۴-۱۲)، میزان تیتانیا بر واحد سطح (۲۰-۸۰ g/m<sup>2</sup>) و فاصله لامپ تا صفحات بتنی (۵-۲۰ cm) بررسی شد. نتایج نشان داد که تأثیر غلظت آلاینده ورودی و pH نسبت به سایر عوامل بیشتر بوده و شرایط بهینه بصورت غلظت آلاینده ورودی ۵۰ mg/L pH ۵.۰ برابر ۱۲، شدت تابش ۶۰ وات، میزان تیتانیا معادل ۸۰ g/m<sup>2</sup> و فاصله لامپ از صفحات معادل ۱۰ cm تعیین گردید. پیش‌بینی فرایند با استفاده از شبکه عصبی مصنوعی نشان داد که ساختار شبکه بصورت دو لایه پنهان و توابع انتقال گوسین در لایه پنهان اول، تائزانت هیپربولیک در لایه پنهان دوم و سیگموئید در لایه پنهان خروجی و ساختار (۵-۶-۴-۱) بهترین جواب بود و اختلاف میان نتایج آزمایشگاه و مدل کمتر از ۵ درصد می‌باشد.

**کلمات کلیدی:** تاگوچی، دی‌اکسید تیتانیوم، بتن، شبکه عصبی مصنوعی، مدل

تاریخ دریافت مقاله: ۱۲ آذر ۱۳۹۰

تاریخ پذیرش مقاله: ۲۴ تیر ۱۳۹۲

**Keywords:** Taguchi method, Titanium dioxide, Concrete, Artificial neural network, Model.

Received: December 3, 2011

Accepted: July 15, 2013

1- Ph.D Graduate in Environmental Engineering, Tarbiat Modares University, and Assistant Professor, Department of Engineering, Kharazmi University, Tehran, Iran

2- Associate Professor, Civil and Environmental Engineering Faculty, Tarbiat Modares University, Tehran, Iran, Email: ayati\_b@modares.ac.ir

3- Professor, Civil and Environmental Engineering Faculty, Tarbiat Modares University, Tehran, Iran

4- Associate Professor, Engineering Faculty, Material Engineering Department, Tarbiat Modares University, Tehran, Iran

\*- Corresponding Author

۱- فارغ التحصیل دکتری مهندسی محیط زیست، دانشگاه تربیت مدرس، تهران، ایران و استادیار دانشکده فنی و مهندسی دانشگاه خوارزمی

۲- دانشیار دانشکده مهندسی عمران و محیط زیست، دانشگاه تربیت مدرس، تهران، ایران

۳- استاد دانشکده مهندسی عمران و محیط زیست، دانشگاه تربیت مدرس، تهران، ایران

۴- دانشیار دانشکده فنی و مهندسی، پخته مهندسی مواد، دانشگاه تربیت مدرس، تهران، ایران

\*- نویسنده مسئول

## ۱- مقدمه

(De Lasa et al., 2005) در سیستم‌های معلق مهمترین مشکل، بازیابی مجدد کاتالیست‌ها می‌باشد. از این رو استفاده از سیستم‌های چسبیده می‌تواند علاوه بر حل مشکل فوق باعث ایجاد زمینه‌های مناسب برای رشد این فرایند در پایلوت‌های نیمه صنعتی و صنعتی گردد. محققین مختلف از بسترها گوناگون برای ثبیت نانوذرات استفاده کرده‌اند. به عنوان مثال می‌توان به کربن فعال (Uchida et al., 1993)، کابل‌های فیبر نسوزی (Horikoshi et al., 2002)، فایبر گلاس (Scotti et al., 2009) و سنگ متخلخل شیشه (Rachel et al., 2002) اشاره کرد که البته استفاده از این بسترها با توجه به خصوصیات فیزیکی و شیمیایی آن‌ها به مطالعات آزمایشگاهی محدود شده است. به عنوان مثال:

حسینی و همکاران در سال ۲۰۰۷ طی تحقیقات با پوشش دادن نانوذرات  $TiO_2$  بر روی سنگدانه‌های سبک و متخلخل پرلیت، راندمان حذف فنل با استفاده از لامپ‌های UV-C با توانهای ۸۰ و ۱۲۵ وات را بررسی کردند. نتایج نشان داد که  $200\text{ mL}$  از فنل ورودی با غلظت  $1\text{ mM}$  با استفاده از لامپ با توان ۸۰ و  $125\text{ W}$  از  $4\text{ h}$  ساعت به ترتیب به میزان  $39/7$  و  $83/3$  درصد حذف شده است (Hosseini et al., 2007). در تحقیقی، تریبا فتوکاتالیست‌های  $Fe-C-TiO_2$  و  $TiO_2$  را بر روی پوشش‌های کتانی برای تجزیه فنل مورد استفاده قرار داد. فتوکاتالیست  $Fe-C-TiO_2$  راندمان بالاتری داشت و در دو سیستم به ترتیب  $15-18\text{ mg/L}$  و  $15-16\text{ mg/L}$  و در آن میزان  $1/5-5\text{ mW/cm}^2$  انجام شد، نیمه عمر واکنش برای غلظت آلاند ورودی به میزان  $1000\text{ }\mu\text{molar}$  معادل  $56\text{ }\mu\text{g/g}$  تعیین گردید (Ling et al., 2004). در تحقیقی دیگر، تصفیه آب آلوه به فنل با استفاده از راکتور فتوکاتالیستی با پوشش ذرات  $TiO_2$  بر بستر پلاتینی با استفاده از لامپ UV با توان  $30\text{ W}$  وات بررسی شد. راندمان حذف TOC با غلظت اولیه  $mg/dm^3$  در زمان  $8\text{ h}$  ساعت به میزان  $95\text{ mg/L}$  درصد گزارش شده است (Zhang et al., 2003). استفاده از کربن اسفنجی برای پوشش دهنده فتوکاتالیست‌های  $TiO_2$  جهت تجزیه فنل توسط ولاسکو و همکاران انجام شد. بالاترین راندمان حذف این سیستم در مدت زمان  $350\text{ min}$  دقیقه و غلظت آلاند ورودی به میزان  $100\text{ mg/L}$  و با استفاده از لامپ UV فشار بالا با توان  $125\text{ W}$  به میزان  $95\text{ mg/L}$  درصد بدست آمد (Velasco et al., 2010).

در تحقیقی مشابه، کارپیو و همکاران اقدام به ثبیت نانوذرات استفاده کردند. این روش به ترتیب  $100\text{ mg/L}$  و  $125\text{ mg/L}$  به میزان  $100\text{ mg/L}$  و  $125\text{ mg/L}$  در مدت زمان  $350\text{ min}$  و  $300\text{ min}$  درصد حذف شد. این روش به ترتیب  $100\text{ mg/L}$  و  $125\text{ mg/L}$  به میزان  $100\text{ mg/L}$  و  $125\text{ mg/L}$  در مدت زمان  $350\text{ min}$  و  $300\text{ min}$  درصد حذف شد.

فنل و مشتقات آن، ترکیبات حلقوی سخت تجزیه‌پذیری هستند که در فاضلاب بسیاری از صنایع شیمیایی سنتزی، رزین، آفتکش‌ها، زغال‌سنگ، چوب و کاغذ، پالایش نفت و... یافت می‌شوند (Sarfaraz et al., 2004). عدم تصفیه مناسب و تخیله این آلاینده‌ها به محیط زیست، به میزان زیادی باعث آلودگی منابع آب می‌شود. سازمان بهداشت جهانی حد مجاز غلظت فنل و کلروفنل‌ها را در آب آشامیدنی کمتر از  $1/10\text{ mg/L}$  میکروگرم (Dezuane, 1997) و سازمان حفاظت محیط زیست آمریکا برای منابع آب جوامع انسانی،  $0.3\text{ mg/L}$  در لیتر (U.S. Environmental Protection Agency, 2002) تعیین کرده است که بیانگر ضرورت تصفیه و کنترل آنهاست. روش‌های مختلف جهت تصفیه فنل مورد استفاده قرار می‌گیرند که به عنوان نمونه می‌توان به انواع بیولوژیکی شامل لجن فعال (Suryaman et al., 2006)، راکتورهای نایپوسته متوالی<sup>۱</sup> (Moussavi et al., 2009) و راکتورهای بیوفیلمی با بستر متحرک<sup>۲</sup> (Ayati et al., 2007) شیمیایی شامل فنتون، الکتروشیمیایی (Busca et al., 2008) و ازن (Manojlovic et al., 2007) اشاره کرد. اگرچه فرایندهای بیولوژیکی به میزان مناسبی توانسته‌اند این قبیل آبهای آلوه به فاضلاب‌ها را تصفیه نمایند، ولی نیاز به کنترل دقیق پارامترهای موثر بر سیستم مانند  $pH$ ، دما، اکسیژن و اثر بازدارندگی فنل باعث محدودیت استفاده از این سیستم‌ها برای تصفیه نمونه‌هایی با حد بالای آلاندگی شده است. سایر فرایندهای متداول تصفیه مانند روش‌های فیزیکی و شیمیایی نیز باعث انتقال آلودگی از یک فاز به فاز دیگر، تغییض آنها و یا تولید یک آلاند جدید می‌شوند که نیاز به تصفیه بیشتری دارند. در سال‌های اخیر فرایندهای اکسیداسیون پیشرفت‌هه به دلیل سهولت کاربرد، اقتصادی بودن و کارایی بالا به عنوان جایگزینی مناسب (Sreethawong and Chavadej, 2008; Hordern et al., 2003; Beltran et al., 2005) برای فرایندهای متداول تصفیه بکار رفته‌اند. در این فرایند مواد آلاند در حضور ذرات فتوکاتالیستی تحت تأثیر تابش اشعه UV قرار گرفته و به دلیل تولید رادیکال‌های هیدروکسیل اکسید و تجزیه می‌گردد (De Lasa et al., 2005). در بین انواع ترکیبات مورد استفاده در فرایند فتوکاتالیستی، دی‌اکسید تیانیوم ( $TiO_2$ ) یا تیتانیا به دلیل هزینه کم، عدم سمیت و واکنش پذیری بالا برای تجزیه ترکیبات آلی بسیار مورد توجه قرار گرفته است (Wang et al., 2009).

راکتورهای فتوکاتالیستی مورد استفاده در تصفیه آب آلوه یا فاضلاب به دو صورت معلق و پوشش یافته می‌باشند

ناحیه فتوکاتالیستی (سطوح بتی پوشش داده شده) منتقل و با اعمال شبیه ملایم در این قسمت با استفاده از نیروی نقل به سمت مخزن هوادهی رفته و صورت سریزی وارد مخزن آلاینده می‌شد. جهت تقسیم جریان آب بر روی سطوح بتی از یک لوله به عرض راکتور و با فاصله منافذ ۱ سانتی‌متر استفاده شد. غلظت مورد نیاز اکسیژن جهت انجام فرایند فتوکاتالیستی در ناحیه هوادهی توسط پمپ Crison Atinan A6500 تأمین و میزان آن توسط DO متر شرکت Oxi45 کنترل شد. با توجه به خطرات لامپ‌های UV استفاده شده در راکتور و جهت حفظ شرایط ایمنی در آزمایشگاه، جداره خارجی راکتور بطور کامل با ورقه‌های آلومینیومی پوشانده شد. طرح شماتیک راکتور در شکل ۱ ارائه شده است.

### ۲-۲- پوشش‌دهی نانو ذرات

در این تحقیق از صفحات بتی به ابعاد  $5 \times 25 \times 50$  سانتی‌متر به عنوان بستر جهت پوشش دهی نانو ذرات استفاده شد. جهت ساخت بتن مطابق روش آیینه نامه بتن آمریکا (American Concrete Institute, 1996) از سیمان تیپ ۵ (ضد سولفات مورد استفاده در تصفیه‌خانه‌های آب و فاضلاب شهری و صنعتی)، آب شرب تهران، سبکدانه لیکا<sup>۵</sup> با حدود دانه‌بندی ۵-۱۰ میلی‌متر جهت حصول تخلخل کافی و افزایش مساحت سطحی بتن و ماسه دوبار شور ۵-۰ میلی‌متر استفاده گردید (جدول ۱).

اتصال نانو ذرات به صفحات بتی با استفاده از چهار روش دوغابی، مخلوط با سیمان و استفاده از دو نوع چسب اپوکسی و ضد آب انجام شد. چسب اپوکسی مورد استفاده با نام تجاری Nitofix و چسب ضد آب با نام تجاری Nitotile و هر دو محصول شرکت فارس ایران بودند. مراحل پوشش‌دهی با استفاده از هر روش مطابق زیر بوده است:

### ۲-۱- روش دوغابی

L/g ۲۰ از محلول آب مقطر- متانول (با نسبت حجمی ۲۵٪) ساخته شد.

محلول ساخته شده به مدت ۱۰ دقیقه در دمای ۲۰ درجه سلسیوس با دور ۱۵۰۰ rpm به شدت همزده شد.

دوغاب حاصل به مدت ۵ دقیقه در حمام اولتراسونیک قرار گرفت تا محلول نانو ذرات TiO<sub>2</sub> فلوکوله شده از هم جدا شوند و دوغاب حالت یکنواخت بگیرد.

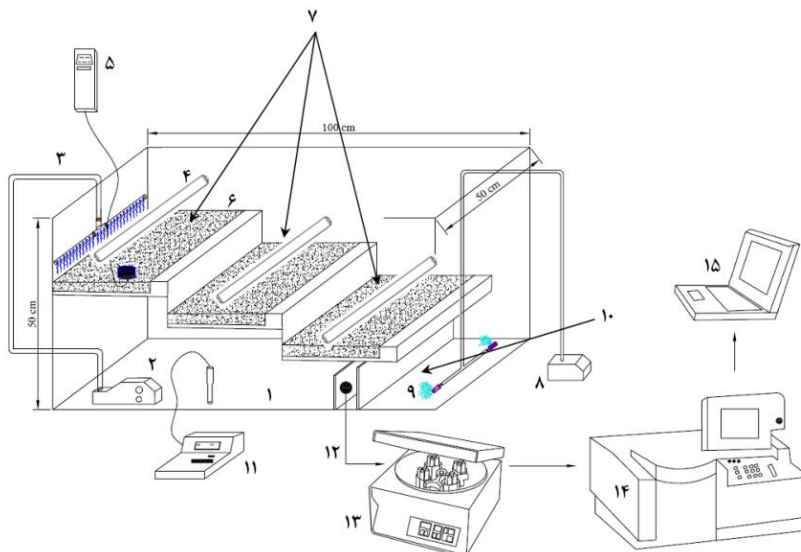
کریستال‌های TiO<sub>2</sub> بر کربن فعال کردند. راندمان این سیستم پس از ۱۲۰ دقیقه و تابش با لامپ UV-A به شدت ۳۰۰ W در غلظت اولیه آلاینده ppm ۴۰ معادل ۴۵ درصد تعیین گردید (Carpio et al., 2005). در این تحقیق با استفاده از چهار روش، نانو ذرات دی‌اکسید تیتانیم بر روی سطح بتن پوشش یافته و قابلیت سیستم فتوکاتالیستی در شرایط مختلف بهره‌برداری در حذف فلز مورد بررسی قرار گرفت. با توجه به اینکه بسیاری از سازه‌های مهندسی در تصفیه خانه‌های آب و فاضلاب از جنس بتن هستند و نیز به دلیل خصوصیات فیزیکی و شرایط اقتصادی اینگونه بسترها، در صورت فراهم نمودن شرایط فرایند فتوکاتالیستی می‌توان از این ماده به عنوان بستر مواد فتوکاتالیست در تصفیه‌خانه‌ها استفاده نمود. ضمن اینکه مطالعات استفاده از بتن جهت پوشش نانو ذرات در فرایندهای تصفیه آب و فاضلاب بسیار محدود بوده و تحقیقات مختصراً انجام شده منحصر به تثیت بر روی مصالح تشکیل دهنده بتن مانند سنگدانه‌ها می‌باشد.

تأثیر عوامل مختلف در فرایند فتوکاتالیستی، اهمیت بهینه‌سازی این سیستم‌ها جهت افزایش راندمان حذف را ضروری می‌سازد. روش‌های گوناگونی جهت بهینه‌سازی موجود است که در این میان، بکار بردن روش‌های مبتنی بر طراحی آزمایش می‌تواند منجر به نتایج دقیق‌تری گردد (ضرغامی و احسانی، ۱۳۹۰). در این تحقیق از روش تاگوچی بر مبنای طراحی آزمایش و آنالیز آماری تحلیل واریانس<sup>۶</sup> (ANOVA) جهت بهینه‌سازی فرایندهای مختلف استفاده گردید. هدف دیگر این تحقیق با توجه به حجم زیاد اطلاعات آزمایشگاهی در شرایط مختلف، پیش‌بینی فرایند با استفاده از شبکه عصبی مصنوعی (ANN) بود. با توجه به اینکه هدف از شبیه‌سازی فرایند فتوکاتالیستی، پیش‌بینی فرایند در شرایطی است که اقدامات آزمایشگاهی صورت نگرفته باشد، از این رو دستیابی به مدل کمک قابل توجهی به برنامه‌ریزی جهت ساخت سیستم در مقیاس بزرگ و کاهش هزینه‌ها خواهد کرد.

## ۲- مواد و روش‌ها

### ۲-۱- پایلوت آزمایشگاهی

پایلوت مورد استفاده در تحقیق از جنس پلکسی گلاس مشتمل بر سه بخش مخزن آلاینده، ناحیه‌های فتوکاتالیستی و هوادهی، در مقیاس آزمایشگاهی بود. جهت تأمین سطح کافی برای عبور محلول از ناحیه فتوکاتالیستی، از رژیم جریان ناپیوسته چرخشی در طراحی اولیه راکتور استفاده شد. آلاینده سنتزی از مخزن آلاینده توسط پمپ Technic AP1400F با قابلیت انتقال آب با دبی L/s ۱۱/۰ به



۱- مخزن آلینده  
۲- پمپ انتقال آب  
۳- لوله توزیع آب  
۴- لامپ UV-A  
۵- دستگاه سنجش شدت UV  
۶- بتن پوشش داده شده با نانو پودر  $TiO_2$   
۷- ناحیه فتوکاتالیستی  
۸- پمپ هوای  
۹- سنگ هوای  
۱۰- ناحیه هواهدی  
۱۱- pH متر  
۱۲- محل نمونه گیری  
۱۳- سانتریفیوژ  
۱۴- اسپکتروفوتومتر  
۱۵- رایانه

شکل ۱- طرح شماتیک سیستم مورد استفاده در تحقیق

جدول ۱- مقادیر وزنی نسبت اختلاط در یک متر مکعب

تخلخل (%)	چگالی ( $kg/m^3$ )	ماسه ( $kg/m^3$ )	شن ۱/۲ اینچ ( $kg/m^3$ )	آب ( $L/m^3$ )	سیمان ( $kg/m^3$ )	مصالح
۱۹	۱۲۰۰	۱۰۱	۵۰۵	۲۰۰	۴۰۰	مقدار وزنی
		.۰۰۴	.۰۶۳	.۰۲	.۰۱۳	مقدار حجمی

پس از خارج کردن نمونه‌ها از کوره، به مدت ۲۴ ساعت در دمای آزمایشگاه خنک و قبل از قرار گرفتن در راکتور با جریان آب شسته شدند تا هرگونه ذرات باقیمانده بر روی سطح جدا شوند.

**۲-۲-۲- روش مخلوط با سیمان**  
۲۰ g/L از محلول  $TiO_2$  با دوغاب سیمان (۴۰ گرم سیمان + ۲۰ آب) مخلوط و به مدت ۱۰ دقیقه در دمای ۲۰ درجه سلسیوس با دور ۱۰۰۰ rpm به شدت همزده شد.

پس از ساخت صفحات بتنی و گیرش اولیه بتن ساخته شده پس از ۸ ساعت، دوغاب ساخته شده بر روی صفحات بتنی ریخته شد و نمونه به ۲ ساعت در دمای ۱۰۰ درجه سلسیوس قرار گرفت. پس از خشک شدن، نمونه‌ها توسط جریان آب شسته شدند تا ذرات باقیمانده از سطح جدا شوند.

پس از تهییه طرح اختلاط بتن به روش حجمی و مخلوط کردن مصالح در میکسر و در زمانی که گیرش اولیه سیمان حاصل شده ولی به حد نهایی نرسیده بود، نصف دوغاب ساخته شده به روی سطح بتنی ریخته شد تا سطح در زیر مایع غرقاب گردد. سطح پوشش داده شده به مدت ۲ ساعت در دمای ۱۰۰ درجه سلسیوس قرار داده شد تا رطوبت سطحی بتن و محلول ثبت شده از بین برود.

در مرحله دوم، باقیمانده سوسپانسیون بر روی هر یک از سطوح بتنی خشک ریخته شد تا سطح بصورت کامل در زیر سوسپانسیون قرار گرفته و پوشش یکنواخت نانو ذرات تمام سطح را پوشش دهد.

برای حذف کلیه مواد آلی و چسبیدن ذرات  $TiO_2$  به سطح، نمونه‌های بتنی پوشش یافته به مدت ۲ ساعت در دمای ۵۰۰ درجه سلسیوس در کوره قرار داده شدند.

Qualitek-4 مطابق دستورالعمل انجام ۱۶ آزمایش (ارائه استاندارد L تاگوچی) تعیین شد. برای تحلیل آماری و دقیق‌تر نتایج، از یک تابع پاسخ تبدیل یافته که بصورت نسبت علامت هر اثر (S) به اثرات ناشی از خطای (N) تعریف می‌گردد، استفاده شد. مزیت استفاده از این پاسخ جدید در تحلیل آماری، نسبت به شکل اولیه پاسخ، مقایسه بزرگی اثرات ناشی از هر عامل اصلی با اثرات ناشی از عوامل خطای و اغتشاش در اندازه‌گیری است که در نتیجه منجر به برداشت دقیق‌تری از تأثیر واقعی عوامل بر سیستم می‌شود.

## جدول ۲- متغیرها و سطوح انتخابی برای طراحی آزمایشات

سطوح				متغیرها
۴	۳	۲	۱	
۵۰۰	۲۵۰	۱۰۰	۵۰	غلظت فل (mg/L)
۶۰	۴۰	۲۰	۸	شدت تابش (وات)
۱۲	۹	۷	۴	pH
محلول*	۲۰	۶۰	۸۰	میزان $TiO_2$ در فرایند (g/m <sup>2</sup> )
۲۰	۱۵	۱۰	۵	فاصله لامپ (cm)

\* استفاده از راکتور با  $TiO_2$  معلق (1 g/L)

نحوه محاسبه نسبت S/N بسته به اینکه هدف چه نوع بهینه‌سازی باشد، متفاوت خواهد بود. از آنجا که در این تحقیق، پاسخ در نظر گرفته شده درصد حذف فل است، هدف بهینه‌سازی پاسخ در نظر گرفته شد. نسبت S/N به صورت معادله ۱ محاسبه می‌گردد:

$$\frac{S}{N} = -10 \log\left(\sum_{i=1}^n \frac{1}{y_i^2}\right) \quad (1)$$

در این معادله  $y_i$  برابر مقدار پاسخ اندازه‌گیری شده برای هر آزمایش در هر آزمون و  $n$  تعداد تکرار آزمایش‌ها (در اینجا برابر ۲) می‌باشد.

## ۴- راهاندازی سیستم

سطوح بتی پس از پوشش دهی جهت انجام فرایند فتوکاتالیستی در داخل راکتور قرارداده شدند. جهت تأمین انرژی مورد نیاز و شرایط انجام فرایند از لامپ‌های UV-A black light (در فاصله ۱۰ سانتی‌متری از صفحات بتی) استفاده شد. این لامپ‌ها قادر به تولید طول موج در محدوده ۳۶۵-۴۰۰ نانومتر با پیک تابش ۳۶۵ نانومتر هستند که معادل انرژی مورد نیاز برای تهییج نانو ذرات  $TiO_2$  است. شدت تابش لامپ‌ها با استفاده از دستگاه UV-A سنج Lutron مدل UVA-365 تعیین شد.

## ۳-۲-۲- روش استفاده از چسب اپوکسی و ضد آب

- ۱۰۰ mL از چسب‌های بتن با ۱۰۰ آب مقطّر مخلوط شده و به مدت ۵ دقیقه با دور ۱۰۰ rpm مخلوط و بر روی صفحات بتی ریخته شد.

- ۲۰ g/L از محلول آب مقطّر- متانول (با نسبت حجمی٪ ۲۵) ساخته شده و به مدت ۱۰ دقیقه در دمای ۲۰ درجه سلسیوس با دور ۱۵۰۰ rpm به شدت همزده شد.

- دوغاب حاصل به مدت ۵ دقیقه در حمام اولتراسونیک قرار گرفت تا محلول نانو ذرات  $TiO_2$  فلوکوله شده از هم جدا شوند و دوغاب حالت یکنواخت گیرد.

- محلول ساخته شده ۲۰ دقیقه بعد از پوشش دادن چسب بر روی بتن به سطح چسب ریخته شد تا تمام سطح را در بر گیرد.

- نمونه‌های پوشش یافته به مدت ۲۴ ساعت در دمای آزمایشگاه خنک و قبل از قرار گرفتن در راکتور با جریان آب شسته شدند تا هرگونه ذرات باقیمانده بر روی سطح جدا شوند.

- جهت اطمینان از پوشش‌دهی مناسب نانو ذرات  $TiO_2$  بر روی سطوح بتی، آزمایش SEM<sup>۱</sup> و آنالیز EDX<sup>۲</sup> به موازات هم توسط دستگاه SEM فیلیپس مدل XL30 بر روی کلیه نمونه‌های اولیه و پوشش داده شده انجام شد.

## ۳-۲- کاربرد روش تاگوچی در بهینه‌سازی فرایند فتوکاتالیستی

برای بررسی نقش پارامترهای مختلف در راندمان و بهینه‌سازی فرایند از روش تاگوچی و برای تحلیل آماری و دقیق‌تر نتایج، از یک تابع پاسخ تبدیل یافته که بصورت نسبت علامت هر اثر (S) به اثرات ناشی از خطای (N) تعریف می‌گردد، استفاده شد. مزیت استفاده از این پاسخ جدید در تحلیل آماری، نسبت به شکل اولیه پاسخ، مقایسه بزرگی اثرات ناشی از هر عامل اصلی با اثرات ناشی از عوامل خطای و اغتشاش در اندازه‌گیری است که در نتیجه منجر به برداشت دقیق‌تری از تأثیر واقعی عوامل بر سیستم می‌شود (Engin et al., 2008).

برای این منظور تأثیر عوامل اصلی شامل غلظت آلاینده ورودی، شدت تابش لامپ، pH فرایند، میزان  $TiO_2$  در فرایند و فاصله لامپ UV تا سطح بتی مورد بررسی قرار گرفت. جدول ۲ عوامل منتخب همراه با مقادیر عددی برای هر سطح را نشان می‌دهد.

باتوجه به اینکه تعداد متغیرها مطابق جدول برابر پنج عدد و برای هر یک نیز چهار سطح در نظر گرفته شده است، تعداد کل آزمایش‌های لازم، مطابق با روش فاکتوریل کامل برابر  $4^5 = 1024$  می‌شود. تعداد و شرایط آزمایش‌های لازم با استفاده از نرم‌افزار (Nutek Inc

### ۳- نتایج و تحلیل نتایج

#### ۳-۱- پوشش نانو ذرات بر روی بتون

جهت بررسی پوشش دهی نانو ذرات تیتانیا بر سطح بتون، اقدام به انجام تصویر برداری با بزرگنمایی  $15000\times$  برابر توسط SEM و آنالیز EDX بر روی نمونه ها شد (شکل ۲). در روش های مختلف پوشش دهی با توجه به فرایندهای متفاوت مورد استفاده جهت اتصال نانو ذرات به صفحات بتون، تصاویر مختلفی از لایه های  $TiO_2$  مشاهده شد. همانطور که ملاحظه می شود، در پوشش دهی دوغابی و چسب اپوکسی که نانو ذرات بطور مستقیم بر سطح بتون ریخته شدند، یک لایه نسبتاً یکنواخت از نانو ذرات به ابعاد در حدود  $43\text{nm}$  بر روی سطح بتون پوشش یافته است. اختلاط نانو ذرات با سیمان در روش دوم، مانع از ایجاد پوشش یکنواخت و کافی در سطح شده و همانطور که در شکل ۲-ج ملاحظه می گردد، قسمت زیادی از سطح پوشش داده شده  $TiO_2$  می باشد. در پوشش دهی با چسب ضد آب (شکل ۵-۲) اگرچه پوشش یکنواخت در سطح تشکیل شده اما به دلیل ماهیت آبرگیری این نوع چسب، در محل هایی از سطح فضاهای خالی بدون پوشش (دوایر رسم شده) نیز ملاحظه می گردد.

آنالیز سطح توسط سیستم EDX نیز عدم تغییر احتمالی در ساختار عناصر فتوکاتالیست بر اثر فعل و انفعالات شیمیایی و وجود تیتانیا در محل عکس برداری را تأیید کرد. پوشیده شدن نانو ذرات با سیمان در روش پوشش دهی مخلوط با سیمان نیز کاهش  $35\%$  درصدی در میزان تیتانیا در واحد سطح را نسبت به سایر روش های پوشش دهی نشان داد. همانطور که در شکل ۲-ج ملاحظه می گردد، در حدود  $18\%$  درصد از سطح در این روش مربوط به عنصر سیلیس بوده که از عناصر اصلی هیدراتاسیون<sup>۱۱</sup> سیمان می باشد.

#### ۳-۲- تعیین شرایط بهینه

مقادیر نتایج مربوط به راندمان حذف در هر مرحله و مقدار S/N محاسبه شده برای هر ردیف آزمایش با استفاده از طراحی آزمایش به روش تاگوچی در جدول ۳ نشان داده شده است.

#### ۳-۲-۱- تأثیر عوامل بر سیستم

میزان و نحوه تأثیر عوامل مختلف بر پاسخ تبدیل یافته سیستم (به صورت نسبت S/N) برای هر یک از عوامل تحلیل در جدول ۴ ارائه شده است. لازم به ذکر است کلیه نتایج بدست آمده در محدوده سطوح در نظر گرفته شده، صادق است. در این جدول بیشترین مقدار

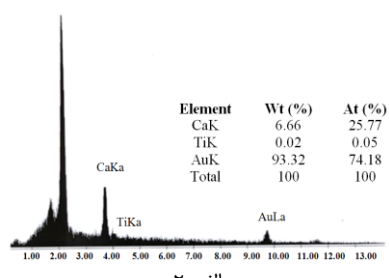
آلائینده سنتزی از ترکیب آب مقطر و فنل محصول شرکت مرک (درجه خلوص ۹۹٪) و در محدوده غلظت  $500-5000\text{ mg/L}$  ساخته شد. آزمایش تعیین غلظت فنل با استفاده از روش نورسنجی مستقیم با معرف ۴-آمینو آنتی پرین در طول موج  $500\text{ nm}$  نانومتر مطابق روش D  $5530\text{D}$  در دستگاه اسپکتروفتومتر Lambda EZ150 بر اساس کتاب استاندارد آزمایشات آب و فاضلاب صورت گرفت (APHA, 2005). با توجه به اینکه در نمونه خروجی از راکتور امکان حضور نانو ذرات  $TiO_2$  وجود داشت، جهت اندازه گیری غلظت فنل، کلیه نمونه ها به مدت  $10\text{ min}$  دور  $3000\text{ rpm}$  در دستگاه ساتریفیو Sigma مدل ۱۰۱ قرار داده شدند. میزان pH سیستم با استفاده از دستگاه Metrohm با الکترود دیجیتالی مدل ۶۹۰ اندازه گیری شد و کلیه آزمایشات در دمای  $25\pm 2^\circ\text{C}$  صورت گرفت.

#### ۳-۲-۲- پیش بینی فرایند با استفاده از شبکه عصبی

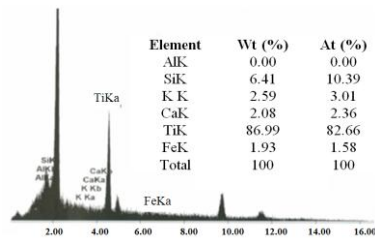
با توجه به حجم زیاد اطلاعات آزمایشگاهی در شرایط مختلف، از ANN برای پیش بینی فرایند استفاده شد. از آنجا که هدف از شبیه سازی فرایند فتوکاتالیستی، پیش بینی فرایند در شرایطی است که اقدامات آزمایشگاهی صورت نگرفته باشد، از این رو دستیابی به مدل کمک قابل توجهی به برنامه ریزی جهت ساخت سیستم در مقیاس بزرگ و کاهش هزینه ها خواهد کرد. در این تحقیق جهت ساخت مدل از نرم افزار تخصصی Qnet نسخه Vesta service 2000 و روش پرسپکترون چند لایه (MLP)<sup>۱۲</sup> با نحوه آموزش پس انتشار خطا (BP<sup>۱۳</sup>) استفاده گردید. برای ساخت مدل، پنج پارامتر اصلی در فرایند فتوکاتالیستی شامل زمان ماند، غلظت فنل ورودی، pH سیستم، غلظت  $TiO_2$  پوشش داده شده بر سطح بتون و شدت تابش لامپ های UV به عنوان متغیر ورودی سیستم و راندمان حذف فنل به عنوان خروجی شبکه در نظر گرفته شد. کل اطلاعات استفاده شده برای مدل سازی شامل ۵ گروه با  $209$  ورودی بود که از این میزان  $150$  مورد به عنوان اطلاعات آموزشی به شبکه و باقیمانده جهت تست شبکه مورد استفاده قرار گرفت. پارامتر ممتومن که میزان تغییرات وزنی ضرایب را تعیین می کند (Delnavaz et al., 2010) به میزان  $8/8$  و نرخ یادگیری بیشینه و کمینه بین  $47-100/0$  و جهت پایداری سریع تر شبکه در نظر گرفته شد. برای تعیین بهینه ترین مدل جهت پیش بینی فرایند فتوکاتالیستی از مدل های متفاوتی استفاده شد. برای این منظور مدل سازی با یک لایه پنهان و یک نرون شروع و بر اساس میزان خطای محاسبه شده برای هر حالت، بهترین مدل از لحاظ کمترین خطای میانگین مجدد مرربعات<sup>۱۴</sup> (RMSE) و بیشترین ضریب همبستگی ( $R^2$ ) انتخاب گردید.

( $\text{pH}=12$ )، سطح ۱ برای غلظت  $\text{TiO}_2$  ( $80 \text{ g/m}^2$ ) و سطح ۲ برای فاصله لامپ ( $10 \text{ cm}$ ) به عنوان عوامل بهینه انتخاب شدند.

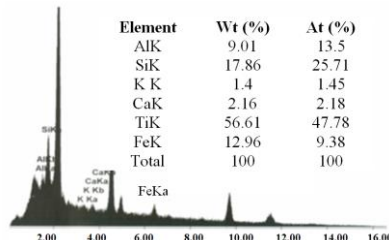
S/N شرایط بهینه را در بین سطوح مختلف هر عامل نشان می‌دهد. به این ترتیب سطح ۱ برای غلظت آلاینده ورودی ( $50 \text{ mg/L}$ ) pH ۴ برای شدت تابش (لامپ ۶۰ وات)، سطح ۴ برای



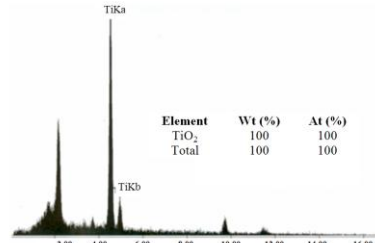
۲-الف



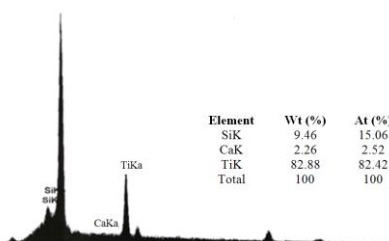
۲-ب



۲-ج



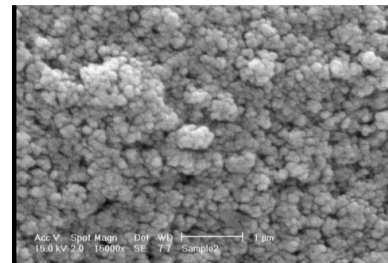
۲-د



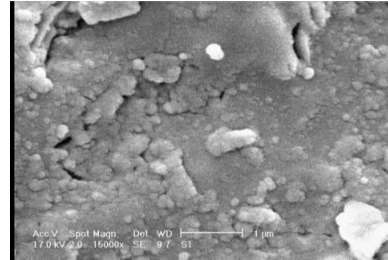
۲-ه



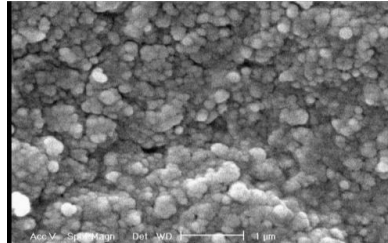
۱-الف



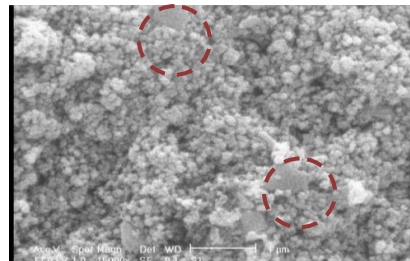
۱-ب



۱-ج



۱-د



۱-ه

شکل ۲- تصاویر SEM با بزرگنمایی  $15000\times$  برای و آنالیز EDX (الف) بتون بدون پوشش دهنی، (ب) دوغابی، (ج) مخلوط با سیمان، (د) چسب اپوکسی، (ه) چسب ضدآب

جدول ۳- راندمان حذف در آزمایشات طرح شده و S/N محاسبه شده

S/N	مقدار انتخاب شده برای متغیرها								شماره
	حذف فنل (درصد)	تکرار دوم	تکرار اول	فاصله لامپ (cm)	TiO <sub>2</sub> میزان (g/m <sup>2</sup> )	pH	شدت تابش (وات)	غلظت فنل (mg/L)	
۳۵/۷۳	۶۰/۱	۶۲/۳	۲۰	۶۰	۴	۴۰	۲۵۰		۱
۳۶/۹۲	۷۰/۳	۷۰/۱	۵	۲۰	۱۲	۲۰	۲۵۰		۲
۳۷/۹۹	۷۸/۴	۸۰/۴	۵	۸۰	۴	۸	۵۰		۳
۳۶/۵۳	۶۶	۶۸/۳	۲۰	۲۰	۷	۸	۱۰۰		۴
۳۵/۵۱	۶۱/۲	۵۸/۳	۵	محلول	۷	۴۰	۵۰۰		۵
۳۶/۷۳	۶۸/۱	۶۹/۲	۲۰	۸۰	۹	۲۰	۵۰۰		۶
۳۷/۹۷	۸۰/۲	۷۸/۳	۱۵	۸۰	۷	۶۰	۲۵۰		۷
۳۷/۷۴	۷۶/۲	۷۸/۱	۱۰	۸۰	۱۲	۴۰	۱۰۰		۸
۳۷/۲۸	۷۴/۱	۷۲/۲	۵	۶۰	۹	۶۰	۱۰۰		۹
۳۶/۰۱	۶۲/۲	۶۴/۳	۱۵	۶۰	۱۲	۸	۵۰۰		۱۰
۳۴/۴۲	۵۳/۲	۵۲/۱	۱۰	۲۰	۴	۶۰	۵۰۰		۱۱
۳۶/۲۲	۶۴/۲	۶۵/۳	۱۵	محلول	۴	۲۰	۱۰۰		۱۲
۳۷/۲۱	۷۴/۲	۷۱/۱	۱۰	محلول	۹	۸	۲۵۰		۱۳
۳۸/۹۷	۹۰/۱	۸۷/۶	۲۰	محلول	۱۲	۶۰	۵۰		۱۴
۳۷/۹۳	۷۸/۴	۷۹/۲	۱۵	۲۰	۹	۴۰	۵۰		۱۵
۳۸/۱۷	۸۲/۱	۸۰	۱۰	۶۰	۷	۲۰	۵۰		۱۶

جدول ۴- نرخ های S/N اصلی برای هر یک از سطوح

S/N	نرخ	متغیر اصلی
۳۵/۶۷۴	غلظت فنل (mg/L)	
۳۷/۱۶۴	شدت تابش (وات)	
۳۷/۴۱۵	pH	
۳۶/۹۸۳	TiO <sub>2</sub> میزان (g/m <sup>2</sup> )	
۳۶/۹۹۳	فاصله لامپ (cm)	
۳۶/۹۶۴		سطح ۴
۳۶/۹۴۷		سطح ۳
۳۸/۲۶۷		سطح ۲
۳۶/۹۴۲		سطح ۱

خطا توسط محاسبه مجموع مربع خطأ و تقسیم آن بر درجه آزادی تعیین شد. درصد تأثیر عوامل مختلف بر حذف فنل در فرایند فتوکاتالیستی در محدوده سطوح در نظر گرفته شده نشان می‌دهد که همه عوامل به جز فاصله لامپ UV از سطح، کم و بیش دارای اهمیت نسبی برای تأثیر بر S/N می‌باشند. همانطورکه مشخص است موثرترین عامل، به ترتیب غلظت آلاینده ورودی، pH، غلظت نانو ذرات TiO<sub>2</sub>، شدت تابش لامپ و فاصله لامپ تا بستر می‌باشد.

### ۲-۲-۳- تحلیل واریانس نتایج

جهت تعیین تأثیر هر یک از پارامترها در راندمان سیستم، تحلیل واریانس انجام شد (جدول ۵). هدف از این تحلیل بدست آوردن نسبت واریانس هر فاکتور نسبت به واریانس کل می‌باشد. از آنجا که هر پنج عامل این تحقیق چهار سطحی در نظر گرفته شده‌اند، میزان درجه آزادی برای مقایسه مقادیر پاسخ در سه سطح از هر عامل برابر ۳ می‌باشد و کل درجه آزادی برابر ۱۵ می‌باشد. بنابراین درجه آزادی برای خطای برابر صفر می‌شود که این امر به دلیل یکسان بودن مقادیر درجه آزادی می‌باشد. در نهایت واریانس

### جدول ۵- تحلیل واریانس نتایج (ANOVA)

متغیر	مجموع	درجه آزادی	مجموع مربعات ( $S$ )	واریانس	درصد تأثیر هر فاکتور
غلظت آلاینده ( $mg/L$ )	۶۴	۳	۱۲/۵	۴/۴۸	۶۴
شدت تابش (وات)	۱/۹	۳	۰/۴	۰/۱۳	۲۰/۵
pH	۲۰/۵	۳	۴/۳	۱/۴۳	۱۳/۴
غلظت $TiO_2$ ( $g/m^2$ )	۱۳/۴	۳	۲/۸	۰/۹۴	۰/۳
فاصله لامپ (cm)	۰/۳	۳	۰/۱	۰/۰۲	۱۰۰
مجموع		۱۵	۲۱	۷	۱۰۰

مخلوط با سیمان پس از گذشت ۲۴ ساعت از شروع واکنش نیز راندمان حذف به حد استاندارد نرسید.

### ۳-۳-پیش‌بینی راندمان سیستم با استفاده از ANN

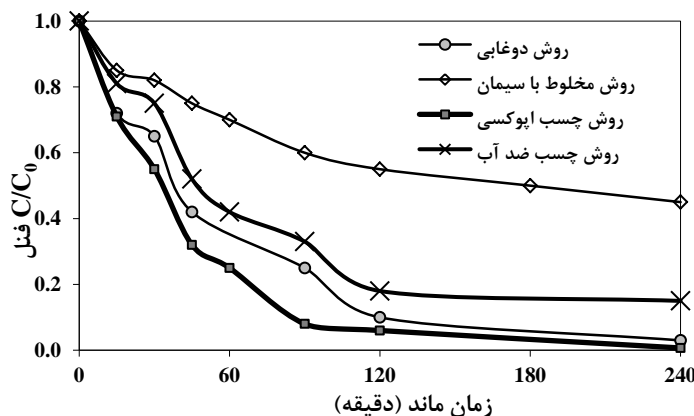
جهت پیش‌بینی راندمان سیستم با استفاده از ANN، بهینه‌ترین مدل با تعیین در تعداد نرون‌های ورودی و توابع تبدیل مطابق جدول ۶ تعیین شد.

ساخтар شبکه منتخب نیز در شکل ۴ نشان داده شده است. مشاهده می‌شود که با تغییر ساختار شبکه از یک لایه پنهان به دو لایه پنهان و تعیین در توابع انتقال شبکه به تدریج میزان  $RMSE$  و  $R^2$  بهبود یافته و در نهایت مدل ANN با دو لایه پنهان و توابع انتقال گوسین در لایه پنهان اول، تائزات هیپربولیک در لایه پنهان دوم و سیگموئید در لایه پنهان خروجی و ساختار ۱-۴-۵-۶ بهترین جواب را داده است.

نحوه آموزش و آزمایش شبکه با استفاده از اطلاعات ورودی تقسیم‌بندی شده در شکل ۵ و میزان ضریب همبستگی بین این دو گروه اطلاعات ورودی در شکل ۶ ارائه شده است.

### ۳-۲-۳- راهاندازی سیستم در شرایط بهینه

نتایج راهاندازی سیستم در شرایط بهینه (غلظت آلاینده ورودی  $50 mg/L$ ، شدت تابش با استفاده از لامپ ۶۰ وات، میزان  $TiO_2$  معادل  $80 g/m^2$ ،  $pH=12$ ، فاصله لامپ از صفحات معادل  $10$  سانتیمتر) در شکل ۳ ارائه شده است. همانطور که ملاحظه می‌گردد، میزان راندمان حذف برای تمامی روش‌ها بالاتر از سایر مقادیر اندازه‌گیری شده در جدول ۳ بود، به نحوی که پس از ۴ ساعت  $99/3$  درصد از فل در روش چسب اپوکسی حذف گردید. بالاترین راندمان حذف در روش دوغابی و مخلوط با سیمان به ترتیب ۹۷ و ۵۵ درصد تعیین شد که دلیل این اختلاف، اختلاط نانو ذرات  $TiO_2$  با درصدی از سیمان مورد استفاده از طرح اختلاط بود که میزان ماده فتوکاتالیست فعال سطحی در مقایسه با روش دوغابی را به میزان زیادی کاهش داد. راندمان سیستم در روش چسب اپوکسی به میزان ۱۴ درصد بیشتر از چسب ضد آب بود که دلیل آن نیز خصوصیت ذاتی آب‌گریزی چسب بتن ضد آب و کاهش نفوذ آلاینده و به دام افتادن آن در سطح فعال کاتالیست می‌باشد. زمان لازم جهت رسیدن به حد توصیه شده سازمان حفاظت محیط زیست آمریکا در شرایط بهینه برای روش دوغابی، چسب اپوکسی و چسب ضد آب به ترتیب پس از ۳۶۰، ۷۲۰ و ۷۲۰ دقیقه تعیین گردید. برای روش



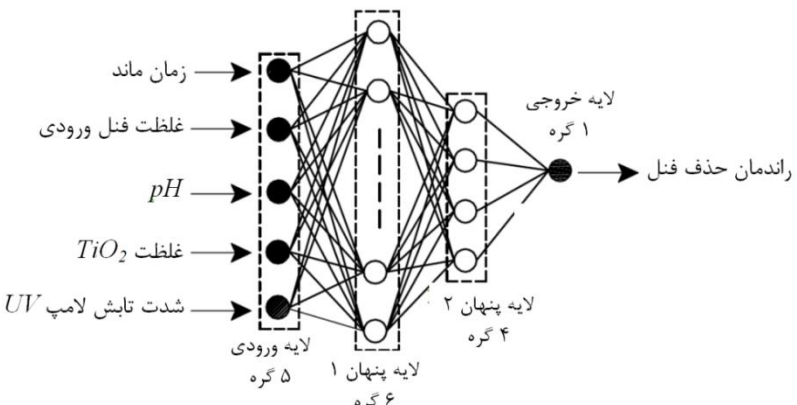
شکل ۳- راندمان سیستم در شرایط بهینه

جدول ۶- مراحل تعیین ساختار بهینه ANN

$R^2$		RMSE		لایه خروجی	لایه پنهان ۲	لایه پنهان ۱	ساختار شبکه
آزمایش	آموزش	آزمایش	آموزش				
۰/۸۸	۰/۸۸۹	۰/۰۹۸۹	۰/۰۹۸۶	S	-	S	۵-۱-۱
۰/۸۹	۰/۹۲	۰/۰۹۲۸	۰/۰۸۴۷	S	-	S	۵-۲-۱
۰/۸۷	۰/۹۳	۰/۱۰۵۷	۰/۰۷۶۵	S	-	S	۵-۳-۱
۰/۹۲	۰/۹۵	۰/۰۹۹۱	۰/۰۶۵۴	S	-	S	۵-۴-۱
۰/۸۷	۰/۹۶	۰/۱۰۹۶	۰/۰۵۷۸	S	-	S	۵-۶-۱
۰/۸۹	۰/۹۵	۰/۱۰۲۵	۰/۰۶۳۷	S	-	S	۵-۷-۱
۰/۹۲	۰/۹۶	۰/۰۸۴۱	۰/۰۵۹۳	S	-	S	۵-۸-۱
۰/۸۸	۰/۸۸	۰/۱۰۷	۰/۱۰۳	G	-	G	۵-۱-۱
۰/۶۷	۰/۶۹	۰/۲۱۰	۰/۱۷۸	G	-	G	۵-۶-۱
۰/۹۰	۰/۹۴	۰/۰۹۵	۰/۰۷۱	S	-	HT	۵-۶-۱
۰/۹۴	۰/۹۸	۰/۰۶۸	۰/۰۳۹	S	HT	G	۵-۹-۸-۱
۰/۹۴	۰/۹۷	۰/۰۶۸	۰/۰۴۷	S	S	S	۵-۹-۸-۱
۰/۹۴	۰/۹۸	۰/۰۷	۰/۰۳۹	S	HT	G	۵-۵-۴-۱
۰/۸۹	۰/۹۵	۰/۰۹	۰/۰۶	S	HT	G	۵-۳-۳-۱
۰/۹۷	۰/۹۹	۰/۰۸	۰/۰۴۳	S	G	HT	۵-۶-۴-۱
۰/۹۷	۰/۹۹	۰/۰۵۱	۰/۰۴۹	S	HT	G	*۵-۶-۴-۱

S: تابع انتقال سیگموئید، HT: تابع انتقال تانژانت هیپربولیک، G: تابع انتقال گوسین

\*: مدل ANN بهینه

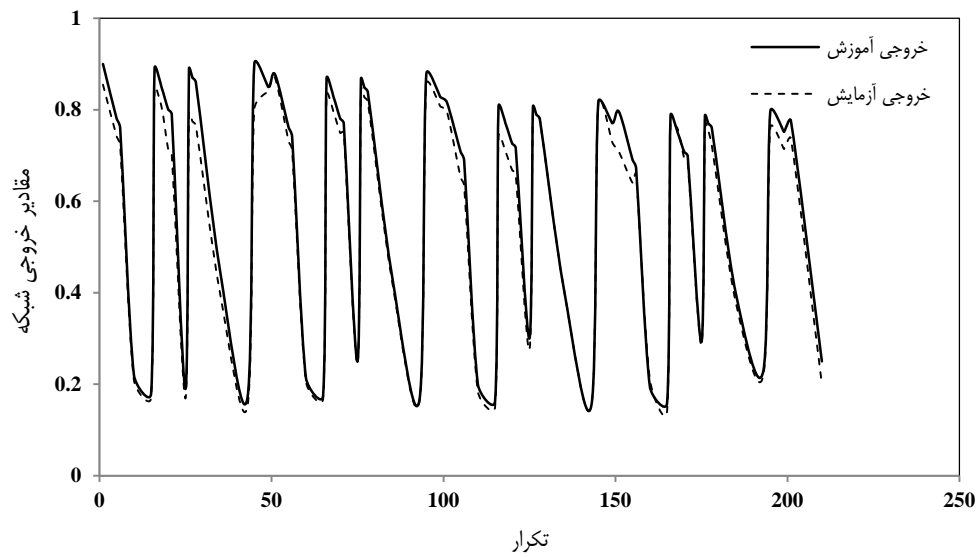


شکل ۴- مدل ANN بهینه

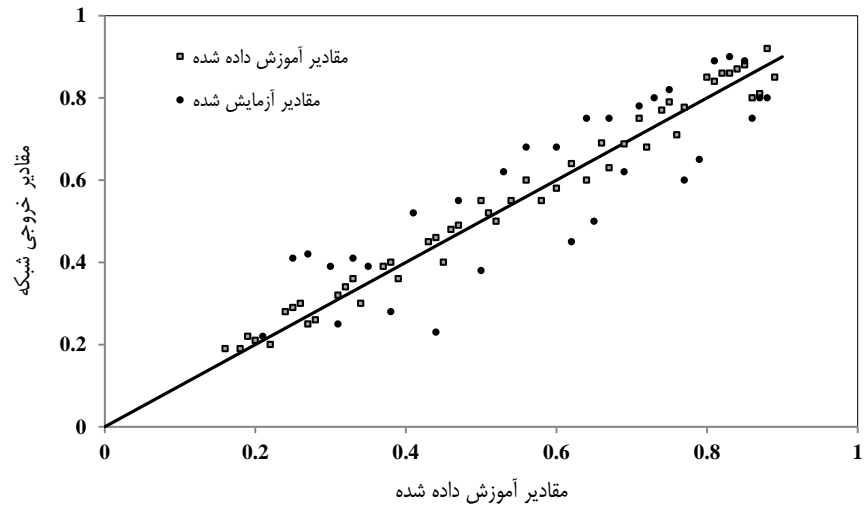
#### ۴- خلاصه و جمع‌بندی

نتایج مطالعات در مقیاس آزمایشگاهی نشان داد که بتن به عنوان پر مصرف‌ترین ماده ساختمانی و مصالح اصلی سازه‌ای در تصفیه‌خانه‌های آب و فاضلاب می‌تواند بستر مناسبی برای پوشش نانو ذرات  $TiO_2$  باشد. بهینه‌سازی فرایند و درصد تأثیر عوامل مختلف بر حذف فیلر در فرایند فتوکاتالیستی با استفاده از روش تاگوچی تعیین شد.

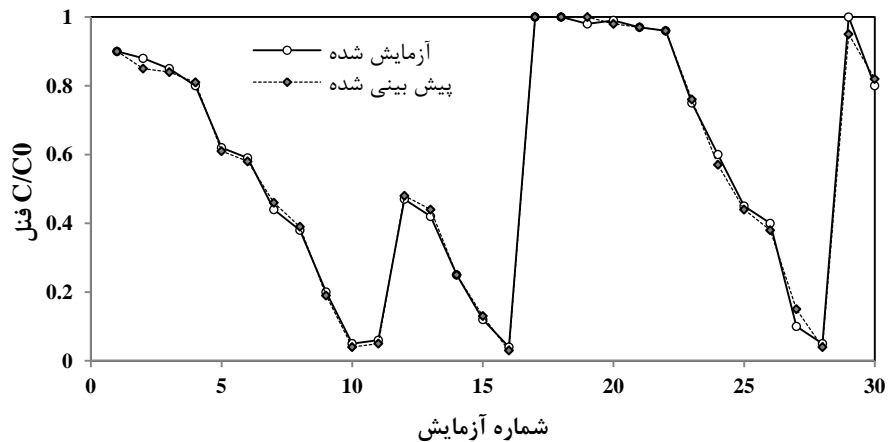
همانطور که ملاحظه می‌گردد ANN با اصلاح مقادیر وزن ماتریس لایه‌های پنهان به نحو مناسبی شرایط انجام فرایند را مدل کرده است. آزمایش شبکه با استفاده از ۲۵ درصد باقیمانده اطلاعات (استفاده نشده در آموزش شبکه) صورت گرفت. نتایج مربوط به ارزیابی مدل در شکل ۷ نشان داده شده است. همانطور که ملاحظه می‌گردد، میزان اختلاف بین داده‌های اندازه‌گیری شده در آزمایشگاه و داده‌های پیش‌بینی شده توسط ANN بسیار کم می‌باشد به نحوی که بیشترین اختلاف بین داده‌ها پس از اجرای مدل کمتر از ۵ درصد می‌باشد.



شکل ۵-آموزش و آزمایش شبکه برای مدل کردن راندمان فرایند فتوکاتالیستی



شکل ۶-رابطه بین داده‌های ورودی و خروجی شبکه



شکل ۷-ارزیابی شبکه با داده‌های جدید

به حوضه دریاچه ارومیه. تحقیقات منابع آب ایران، سال ۷، شماره ۲: ۱۴-۱.

American Concrete Institute ACI 211 (1996) Manual of concrete practice. Farmington Hill, USA.

APHA, AWWA and WPCF (2005) Standard method for the examination water and wastewater. Washington DC. USA.

Ayati B, Ganjidoust H, Mir Fattah M (2007) Degradation of aromatic compounds using moving bed biofilm reactor. *Iran J Environ Health* 4(2):107-112.

Beltran FJ, Rivas FJ, Montro-de-Espinosa R (2005) Iron type catalysts for the ozonation of oxalic acid in water. *Water Res* 39:3553-3564.

Busca G, Berardinelli S, Resini C, Arrighi L (2008) Technologies for the removal of phenol from fluid streams: A short review of recent developments. *J Hazard Mater* 160(2-3):265-288.

Carpio E, Zuniga P, Ponce S, Solis J, Rodriguez J, Estrada W (2005) Photocatalytic degradation of phenol using TiO<sub>2</sub> nanocrystals supported on activated carbon. *J Mol Catal A-Chem* 228:293-298.

De Lasas H, Serrano B, Salaices M (2005) Photocatalytic Reaction Engineering. Springer Science.

Delnavaz M, Ayati B, Ganjidoust H (2010) Prediction of moving bed biofilm reactor (MBBR) performance for the treatment of aniline using artificial neural networks (ANN). *J Hazard Mater* 179(1-3):769-775.

Dezuane J (1997) Handbook of drinking water quality. 2<sup>nd</sup> Edition, Vannos Trand Reinhold.

Engin AB, Ozdemir O, Turan M, Turan, AZ (2008) Color removal from textile dye bath effluents in a zeolite fixed bed reactor: Determination of optimum process conditions using Taguchi method. *J Hazard Mater* 159:348-353.

Hordern BK, Ziolek M, Nawrocki J (2003) Catalytic ozonation and methods of enhancing molecular ozone in reactions water treatment. *Appl Catal B-Environ* 46:639-669.

Horikoshi S, Watanabe N, Onishi H, Hidaka H, Serpone N (2002) Photodecomposition of a nonylphenol polyethoxylate surfactant in a cylindrical photoreactor with TiO<sub>2</sub> immobilized fiberglass cloth. *Appl Catal B-Environ* 37(2):117-129.

Hosseini SN, Borghei SM, Vossoughi M, Taghavinia N (2007) Immobilization of TiO<sub>2</sub> on perlite granules

موثرترین عامل، به ترتیب غلظت آلاینده ورودی، pH، غلظت نانوذرات TiO<sub>2</sub>، شدت تابش لامپ و فاصله لامپ تا بستر بتنی بود. در بهینه‌ترین شرایط فرایند در غلظت آلاینده ۵۰ mg/L، شدت تابش pH=۱۲، ۶۰ g/m<sup>2</sup> با استفاده از لامپ ۸۰ وات، میزان میزان راندمان حذف و فاصله لامپ از صفحات معادل ۱۰ سانتیمتر میزان راندمان حذف پس از ۴ ساعت در پوشش دهی با استفاده از چسب اپوکسی به میزان ۹۹/۳ درصد تعیین شد. مقایسه نتایج این تحقیق با کار سایر محققان نشان داد که راندمان سیستم در شرایط بهینه در حدود ۱۵ درصد بیشتر از تحقیق حسینی و همکاران در سال ۲۰۰۷ بود که از سبکدانه پرلیت به عنوان بستر و از لامپ UV-C با توان ۱۲۵ وات جهت حذف فنل استفاده کردند. مدل سازی سیستم با استفاده از روش ANN نشان داد که در بهترین مدل منتخب بین دادهای اندازه‌گیری شده در آزمایشگاه و دادهای پیش‌بینی شده اختلاف حدود ۵ درصد وجود دارد. تحقیقات محدودی در زمینه استفاده از ANN برای مدل سازی فرایند فتوکاتالیستی انجام شده است. تعیین شرایط بهینه و پیش‌بینی فرایند فتوکاتالیستی می‌تواند باعث ایجاد زمینه‌های مناسب جهت استفاده از این فناوری نوین جهت تصفیه منابع آبی آلوده به ترکیبات سخت تجزیه‌پذیری مانند فنل شود.

## ۵- تشکر

بدینوسیله از ستاد ویژه توسعه فناوری نانو جهت حمایت تشویقی و معاونت محترم پژوهشی دانشگاه تربیت مدرس جهت حمایت مالی طرح تشکر و قدردانی می‌گردد.

## پی‌نوشت‌ها

- 1-Sequencing Batch Reactor (SBR)
- 2-Moving Bed Biofilm Reactor (MBBR)
- 3-Sonolysis
- 4-Analysis of Variance
- 5-Light Expanded Clay Aggregate (LECA)
- 6-Scanning Electronic Microscope
- 7-Energy Dispersive X-ray Microanalysis
- 8-Multi Layer Perceptron
- 9-Back Propagation
- 10-Root Mean Square Error
- 11-Hydration
- 12-Trapping

## ۶- مراجع

ضرغامی م، احسانی ا (۱۳۹۰) ارزیابی روش‌های مختلف تصمیم‌گیری گروهی چند معیاره در انتخاب طرحهای انتقال آب

- Suryaman D, Hasegawa K, Kagaya S (2006) Combined biological and photocatalytic treatment for the mineralization of phenol in water. *Chemosphere* 65(11):2502–2506.
- Tryba B (2008) Immobilization of TiO<sub>2</sub> and Fe-C-TiO<sub>2</sub> photocatalysts on the cotton material for application in a flow photocatalytic reactor for decomposition of phenol in water. *J Hazard Mater* 151(2-3):623–627.
- Uchida H, Itoh S, Yoneyama H (1993) Photocatalytic degradation of propyzamide using TiO<sub>2</sub> supported on activated carbon. *Chem Lett* 12:1995–1998.
- US Environmental Protection Agency (2002) Toxicological Review of Phenol. CAS No. 108-95-2.
- Velasco LF, Tsyntsarski B, Petrova B, Budinova T, Petrov N, Parra JB, Ania CO (2010) Carbon foams as catalyst supports for phenol photodegradation. *J Hazard Mater* 184:843–848.
- Venkata Subba Rao K, Rachel A, Subrahmanyam M, Boule P (2003) Immobilization of TiO<sub>2</sub> on pumice stone for the photocatalytic degradation of dyes and dye industry pollutants. *Appl Catal B-Environ* 46(1):77–85.
- Wang X, Liu Y, Hu Z, Chen Y, Liu W, Zhao G (2009) Degradation of methyl orange by composite photocatalysts nano-TiO<sub>2</sub> immobilized on activated carbons of different porosities. *J Hazard Mater* 169 (1-3):1061–1067.
- Zhang L, Kanki T, Sano N, Toyoda A (2003) Development of TiO<sub>2</sub> photocatalyst reaction for water Purification. *Sep Purif Technol* 31:105–110.
- for photocatalytic degradation of phenol. *Appl Catal B-Environ* 74(1-2):53–62.
- Ling CM, Mohamed AR, Bhatia S (2004) Performance of photocatalytic reactors using immobilized TiO<sub>2</sub> film for the degradation of phenol and methylene blue dye present in water stream. *Chemosphere* 57:547–554.
- Manojlovic D, Ostojic DR, Obradovic BM, Kuraica MM, Krsmanovic VD, Puric J (2007) Removal of phenol and chlorophenols from water by new ozone generator. *Desalination* 213:116–122.
- Moussavi G, Mahmudi M, Barikbin B (2009) Biological removal of phenol from strong wastewaters using a novel MSBR. *Water Res* 43(5):1295–1302.
- Rachel A, Subrahmanyam M, Boule P (2002) Comparison of photocatalytic efficiencies of TiO<sub>2</sub> in suspended and immobilized form for the photocatalytic degradation of nitrobenzene sulfonic acids. *Appl Catal B-Environ* 37(4):301–308.
- Sarfraz S, Thomas S, Tewari UK (2004) Anoxic treatment of phenolic wastewater in sequencing batch reactor. *Water Res* 38(4):965–971.
- Scotti R, D'Arienzo M, Morazzoni F, Renato Bellobono I (2009) Immobilization of hydrothermally produced TiO<sub>2</sub> with different phase composition for photocatalytic degradation of phenol. *Appl Catal B-Environ* 88(3-4):323–330.
- Sreethawong T, Chavadej S (2008) Color removal of distillery wastewater by ozonation in the absence and presence of immobilized iron oxid catalyst. *J Hazard Mater* 155:486–493.